

Застосування найбільш точної моделі розвитку пожежі - моделі полів для інженерної практики є досить складним завданням, так як потребує відповідного програмного забезпечення в якому були б реалізовані рішення відповідних задач.

Перспективним напрямом у створенні моделей пожеж є розробка моделей в яких параметри розвитку пожежі визначались диференційовано залежно від фази розвитку пожежі і були б сумісними між собою що дало б змогу більш точно визначати температурні та часові характеристики пожежі.

#### СПИСОК ЛІТЕРАТУРИ:

1. Шналь Т.М., Павлюк Ю.Е, Стасюк М. І., Кархут І.І., Штангрет Б.С. *Температурний розвиток пожежі в одноповерховій промисловій будівлі з залізобетонним каркасом // Пожежна безпека. - Львів: ЛДУ БЖД, УкрНДПБ МНС України, 2007. - №10.-С.12-16.*
2. EN 1991-1-2 (2002). *Eurocode 1: Actions and Structures, Part 1-2: General Actions-Actions on Structures Exposed to Fire.*
3. Wei Lu, Pentti Makelainen *Advanced Steel Structures. Structural Fire Design. Helsinki University of Technology Laboratory of Steel Structures Publications 29. Espoo 2003.*
4. Korhonen, E (1999). *Natural Fire Modeling of Large Space. Master's Thesis .*
5. Eero Sakari Korhonen (2000). *Natural fire modelling of large spaces. Helsinki University of Technology.*

УДК 624.075: 539.3

*Р.М. Тацій, д.ф.-м.н., проф. (Львівський державний університет безпеки життєдіяльності), Т.І. Ушак, інж. (ЗАТ ЖБК „Ваш дім”)*

#### МЕТОД ДИСКРЕТИЗАЦІЇ В ЗАДАЧІ ПРО ВІЛЬНІ КОЛИВАННЯ ДИМОВОЇ ТРУБИ ЗМІННОГО ПЕРЕТИНУ З УРАХУВАННЯМ ВЛАСНОЇ ВАГИ

В даній статті запропонований новий наближений метод обчислення частот вільних коливань для стрижнів з дискретно-неперервним розподілом параметрів. В основу методу покладено апроксимацію коефіцієнтів відповідних диференціальних рівнянь узагальненими функціями. Як приклад наведено дослідження вільних коливань димової труби з змінним по висоті поперечним перерізом. Розглядається вплив власної ваги на коливання димової труби. Отримані результати є новими і невідомими в спеціальній літературі.

Одним з типів інженерних споруд за допомогою яких відходи виробництва з залишковим вмістом шкідливих речовин викидаються на значній висоті є витяжні труби. Витяжні димові труби в реальній роботі піддаються впливу таких динамічних навантажень, як пульсація вітру, сейсмічні навантаження та інші. Тому розрахунок таких конструкцій зі змінним по висоті перерізом, з врахуванням власної ваги є актуальною інженерною проблемою. В даній роботі для аналізу вільних коливань димової труби (стрижня змінної жорсткості) та побудови форм коливань використовується метод апроксимації коефіцієнтів квазидиференціальних рівнянь (КДР) узагальненими функціями [5,6].

Точні розв'язки краєвих задач коливань та динамічної стійкості стрижнів та стрижневих систем з дискретно-неперервним розподілом параметрів зводяться до розв'язання диференціальних рівнянь з змінними коефіцієнтами. Інтегрування таких диференціальних рівнянь класичними підходами пов'язані з значними труднощами, або

появою складних фундаментальних функцій. В літературі відомі розв'язки для деяких часткових випадків [3,4]

Метод дискретизації, який використовується в даній роботі, дає можливість досліджувати коливання димової труби з дискретно-неперервним розподілом параметрів на базі теорії узагальнених КДР [1].

**1. Постановка задачі для знаходження частот вільних поперечних коливань стрижня з урахуванням власної ваги.**

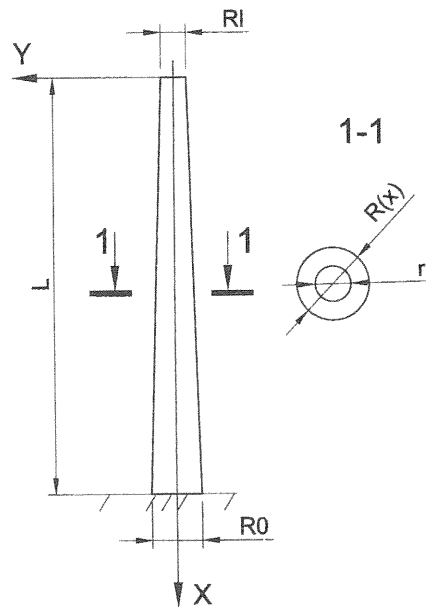


Рис. 1. Розрахункова схема труби.

Задача про вільні коливання консольного стрижня довжини  $l$  з урахуванням власної ваги (див. рис.1) зводиться до розв'язання КДР 4-го порядку [9]

$$(EI(x)y'''' - \omega^2 \rho F(x)y + (G(x)y')') = 0 \quad (1)$$

при крайових умовах

$$EIy''(0) = 0 ; EIy''(0)' + G(0)y'(0) = 0 ; y(l) = 0 ; y'(l) = 0. \quad (2)$$

Тут  $EI(x)$ -змінна згинна жорсткість,  $F(x)$ - змінна площа поперечного перерізу,

$G(x) = \int_0^x \rho g F(\xi) d\xi$  - вага стрижня від верхнього кінця до точки  $x$ ,  $\rho$  - густина матеріалу,  $g$  - прискорення земного тяжіння.

Ця задача може бути інтерпретована як задача про вільні коливання димової труби змінного перерізу. Для конкретності розглядаються наступні параметри труби: висота труби  $l=50$  м, радіус нижньої основи  $R_0=6$  м; радіус верхньої основи  $R_l=3$  м; 4,2м; 6 м, внутрішній радіус  $r=1.5$  м. Запишемо параметри залежні від координати  $x$ : момент інерції, площа поперечного перерізу, власна вага відповідно:

$$I(x) = \frac{\pi}{4} (R^4(x) - r^4); \quad F(x) = \pi R^2(x) - \pi r^2; \quad G(x) = \frac{x\pi\rho}{3} (R^2(x) + R(x)R_l + R_l - 3r^2);$$

де  $R(x)$  - радіус поперечного перерізу труби на відстані  $x$ ,

$$R(x) = \frac{1}{\alpha_0} [l - (1 - \alpha)x]; \quad \alpha_0 = \frac{l}{R_l}; \quad \alpha = \frac{R_0}{R_l}; \quad \alpha_1 = R_l - 3r^2; \quad R = \alpha_0 r. \quad (3)$$

Квазидиференціальне рівняння для визначення частот вільних поперечних коливань димової труби (1) з врахуванням параметрів (3) після перемноження лівої та правої частини на  $\frac{\alpha_0^2}{\pi}$  буде мати вигляд:

$$\left\{ \frac{E}{4\alpha_0^2} [(l - (1 - \alpha)x)^4 - R^4] y'''' - \{\rho [(l - (1 - \alpha)x)^2 - R^2]\} \omega^2 y + \left\{ \left[ \frac{x\rho}{3} ((l - (1 - \alpha)x)^2 + \alpha_0(l - (1 - \alpha)x)R_l + \alpha_0^2\alpha_1) \right] y' \right\}' = 0 \right. \quad (4)$$

## 2. Апроксимація коефіцієнтів та елементи лінійної теорії узагальнених квазидиференціальних рівнянь 4-го порядку [1].

Ввівши позначення  $EI(x) = a_0(x)$ ;  $\omega^2 \rho F(x) = a_2(x)$ ;  $G(x) = a_1(x)$  розглянемо на відкритому інтервалі  $I$  дійсної осі КДР:

$$(a_0(x)y'''' - a_2(x)y + (a_1(x)y')') = 0; \quad (5)$$

де  $a_0^{-1}(x)$  - локально обмежена і вимірна на  $I$  функція,  $I$  - відкритий інтеграл дійсної осі;  $a_1(x) = b_1'(x)$ ;  $a_2(x) = b_2'(x)$ ;  $b_0(x)$ ;  $b_1(x)$ ;  $b_2(x)$  - функції локально обмеженої на  $I$  варіації,  $b_1'(x)$ ,  $b_2'(x)$  - узагальнені похідні (міри на  $I$ ) [1]. Квазіпохідні для розв'язку рівняння (5) позначимо наступним чином:

$$y^{[0]}(x) \stackrel{def}{=} y(x); \quad y^{[1]}(x) = y'(x); \quad y^{[2]}(x) = a_0 y''(x); \quad y^{[3]}(x) = a_1 y'(x) + (a_0 y''(x))'. \quad (6)$$

Вихідне КДР (5) зводиться до системи рівнянь першого порядку

$$Y'(x) = C'(x) \times Y(x); \quad (7)$$

де

$$Y(x) = \begin{pmatrix} y \\ y^{[1]} \\ y^{[2]} \\ y^{[3]} \end{pmatrix}; \quad C'(x) = \begin{pmatrix} 0 & 1 & 0 & 0 \\ 0 & 0 & a_0^{-1}(x) & 0 \\ 0 & -a_1(x) & 0 & 1 \\ a_2(x) & 0 & 0 & 0 \end{pmatrix}. \quad (8)$$

Система (7) коректна [1], оскільки виконується необхідна й достатня умова коректності:

$$(\Delta C(x))^2 = 0 \quad \forall x \in I, \quad (9)$$

де,  $\Delta C(x) = C(x) - C(x-0) = \begin{pmatrix} 0 & 0 & 0 & 0 \\ 0 & 0 & 0 & 0 \\ 0 & -\Delta b_1(x) & 0 & 0 \\ \Delta b_2(x) & 0 & 0 & 0 \end{pmatrix}$  - матриця стрибків цієї системи.

Через  $B(x, s)$  позначимо фундаментальну матрицю системи (7), структура якої добре вивчена в [1, 2], з наступними властивостями:

1.  $B(s, s) = E$ , де  $E$  - одинична матриця;
2.  $B(x, s) = (E + \Delta C(x)) \cdot B(x-0, s)$ ;
3.  $\forall x_1, x_2, x_3 \in I \quad B(x_3, x_2) \cdot B(x_2, x_1) = B(x_3, x_1)$ .

За допомогою цієї матриці для довільного початкового вектора  $\bar{y}_0 = y(x_0)$ ,  $x_0 \in I$ , розв'язок системи (7) записується у вигляді

$$\bar{y}(x) = B(x, x_0) \cdot \bar{y}_0 \quad (11)$$

Зауважимо, що властивість 3. дозволяє “продовжувати” розв'язок  $\bar{y}(x)$  при переході через точку  $x = x_2$ .

Апроксимуємо тепер змінні коефіцієнти рівняння (5).

Розіб'ємо стрижень довжиною 1 на  $n$  рівних ділянок. Нехай початкова точка  $x_0 = 0$ , кінцева  $x_n = l$ , крок розбиття  $h = x_k - x_{k-1}$ , де  $k = 0, \dots, n$

Апроксимація коефіцієнта  $a_0(x) = \frac{E}{4\alpha_0^2} [(l - (1 - \alpha)x)^4 - R^4] = b_0'(x)$  кусково-сталими коефіцієнтами на кожному проміжку (див. рис.2) проводиться наступним чином.

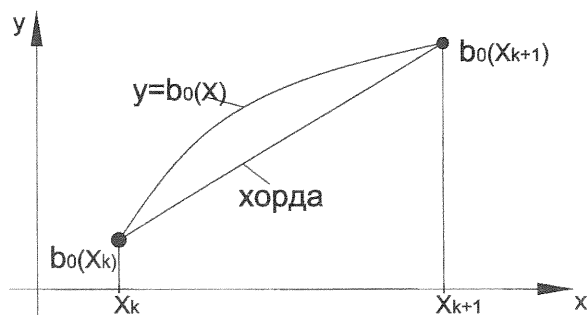


Рис. 2. Схема апроксимації.

Знаходимо  $b_0(x)$  на проміжку  $[x_{k-1}, x_k[$ :  $b_0(x) = \frac{E}{4\alpha_0^2} \int_{x_{k-1}}^{x_k} ((l - (1 - \alpha)x)^4 - R^4) dx$ .

Запишемо рівняння прямої, яка проходить через дві точки (хорди):

$$\frac{x - x_{k-1}}{x_k - x_{k-1}} = \frac{b_0(x) - b_0(x_{k-1})}{b_0(x_k) - b_0(x_{k-1})}$$

Продиференціювавши обидві частини отримаємо:

$$\frac{1}{x_k - x_{k-1}} = \frac{b_0'(x)}{b_0(x_k) - b_0(x_{k-1})}$$

Тобто ,на проміжку  $[x_{k-1}, x_k[$ :

$$b_0'(x) = \frac{b_0(x_k) - b_0(x_{k-1})}{x_k - x_{k-1}} \equiv a_k \text{ - величина стала} \quad (12)$$

Апроксимуємо відповідним чином [7] коефіцієнти  $a_2(x) = \rho [(l - (1 - \alpha)x)^2 - R^2] = b_2'(x)$  та  $a_1(x) = \frac{x\rho}{3} [(l - (1 - \alpha)x)^2 + \alpha_0(l - (1 - \alpha)x)R_l + \alpha_0^2\alpha_1] = b_1'(x)$ .

Позначимо відповідно  $b_2'(x_k) = d_k$ ;  $b_1'(x_k) = c_k$ . Після апроксимації квазидиференціальне рівняння (5) буде мати вигляд:

$$\left( \sum_{k=0}^n a_k \theta(x - x_k) y_k^n \right)' - \omega^2 \left\{ \sum_{k=1}^n d_k \delta(x - x_k) \right\} y + \left\{ \sum_{k=1}^n c_k \delta(x - x_k) \right\} y' = 0 \quad (13)$$

що є частинним (конкретизованим) випадком КДР (5),

де  $\delta(x - x_k)$  -  $\delta$  - функція Дірака з носієм в точці  $x = x_k$ , а функція  $\theta(x - x_k) = \begin{cases} 1, & x \in [x_k, x_{k+1}[ , \\ 0, & x \notin [x_k, x_{k+1}[ . \end{cases}$

Як відомо [7], при  $n \rightarrow \infty$  всі розв'язки цього рівняння разом із своїми квазіпохідними  $y^{[1]}$ ,  $y^{[2]}$  і  $y^{[3]}$  рівномірно прямують до відповідних розв'язків і квазіпохідних рівняння (5):

$$\lim_{n \rightarrow \infty} |y_n^{[i]}(x) - y(x)^{[i]}| = 0, \quad i = \overline{0,3}. \quad (14)$$

Матриця стрибків (7) для нашого випадку

$$\Delta C(x_k) = \begin{pmatrix} 0 & 0 & 0 & 0 \\ 0 & 0 & 0 & 0 \\ 0 & -c_k h & 0 & 0 \\ \omega^2 d_k h & 0 & 0 & 0 \end{pmatrix} \quad (15)$$

При такому представленні коефіцієнтів  $a_0, a_1, a_2$ , якщо буде відомий еволюційний оператор  $B(x_k - 0, x_{k-1})$  диференціального рівняння  $(a_0 y'')'' = 0$ , фундаментальну матрицю диференціальної системи (7), враховуючи властивості (10) можна знайти за формулою [2]:

$$B(x, x_0) = \prod_{k=1}^n (E + \Delta C(x_k)) \times B(x_k - 0, x_{k-1}) \quad (16)$$

причому еволюційний оператор  $B(x_k - 0, x_{k-1})$  квазидиференціального рівняння  $(a_0 y'')'' = 0$  має вигляд [2]:

$$B(x_k - 0, x_{k-1}) = \begin{pmatrix} 1 & h & \frac{h^2}{2!a_k} & \frac{h^3}{3!a_k} \\ 0 & 1 & \frac{h}{a_k} & \frac{h^2}{2!a_k} \\ 0 & 0 & 1 & h \\ 0 & 0 & 0 & 1 \end{pmatrix} \quad (17)$$

Отримавши згідно рекурентної формули (16) фундаментальну матрицю  $B(l, 0)$  врахуємо граничні умови закріплення і сформуємо характеристичне рівняння.

### 3. Побудова характеристичного рівняння, обчислення власних частот та власних форм коливань.

Позначимо через  $Y_0$  початкову матрицю, що враховує умови закріплення в точці  $x=0$ . Для вільного кінця:

$$Y_0 = \begin{pmatrix} 1 & 0 \\ 0 & 1 \\ 0 & 0 \\ 0 & 0 \end{pmatrix} \quad (18)$$

Позначимо:

$$B_n(l, 0) \cdot Y_0 = \begin{pmatrix} a_{11} & a_{12} \\ a_{21} & a_{22} \\ a_{31} & a_{32} \\ a_{41} & a_{42} \end{pmatrix} \quad (19)$$

Тоді, в залежності від умов закріплення на нижньому кінці ( $x=l$ ) отримуємо характеристичне рівняння для визначення частоти.

Для жорсткого закріплення:

$$|A(\omega)| = \det \begin{pmatrix} a_{11}(\omega) & a_{12}(\omega) \\ a_{21}(\omega) & a_{22}(\omega) \end{pmatrix} = 0 \quad (20)$$

Задаючи значення частоти коливань  $\omega^2$  з визначеним кроком, з допомогою персонального комп'ютера отримуємо з рівняння (20) частоти  $\omega_i^2$ .

В поданих таблицях виписані результати розрахунку. При обчисленнях з кроком розбиття  $1/1000000$  і  $1/2000000$  значення квадрату частоти коливань  $\omega^2$  на шостому знаку після коми не змінювалось, тому зменшення кроку розбиття не має сенсу.

В табл. 1 подані результати розрахунку 1-ших трьох частот вільних коливань  $\omega^2$  димової труби змінного перерізу без врахування власної ваги. Параметр  $\alpha$  характеризує зміну поперечного перерізу димової труби.

Таблиця 1

Частоти	$\alpha$			
	n	1	0,7	0,5
1-ша частота	100000	0,504409	0,709258	0,992635
2-га частота	100000	19,809253	17,822899	17,005272
3-тя частота	100000	155,305795	122,509811	103,576745

В табл. 2 подані результати розрахунку 1-ших трьох частот вільних коливань  $\omega^2$  димової труби змінного перерізу з врахування власної ваги.

Таблиця 2

Частоти	$\alpha$			
	n	1	0,7	0,5
1-ша частота	100000	0,497042	0,700381	0,981764
2-га частота	100000	19,771833	17,785945	16,967453
3-тя частота	100000	155,215771	122,42871	103,500579

На рисунку 3 подана графічна залежність 1-ї частоти вільних коливань  $\omega^2$  від зміни поперечного перерізу димової труби з врахуванням власної ваги

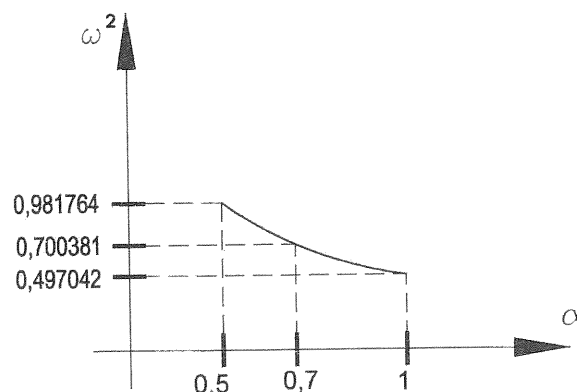


Рис. 3. Залежність 1-ї частоти коливань  $\omega_1^2$  від змінного поперечного перерізу.

Побудова форм вільних коливань стрижня з урахуванням та без урахування власної ваги зводиться до задачі на знаходження власних векторів квазидиференціального рівняння (5) з граничними умовами (18),(19).

Записавши праву частину виразу (19) через лінійно незалежні функції, отримаємо розв'язок квазидиференціального рівняння (5)

$$\bar{Y}(l) = \begin{pmatrix} C_1 \cdot y_1(l, \omega^2) + C_2 \cdot y_2(l, \omega^2) \\ C_1 \cdot y_1'(l, \omega^2) + C_2 \cdot y_2'(l, \omega^2) \\ C_1 \cdot y_1^{[2]}(l, \omega^2) + C_2 \cdot y_2^{[2]}(l, \omega^2) \\ C_1 \cdot y_1^{[3]}(l, \omega^2) + C_2 \cdot y_2^{[3]}(l, \omega^2) \end{pmatrix} \quad (21)$$

причому функції  $y_1, y_2$  такі, що вже задовольняють крайові умови (умови закріплення) в точці  $x = 0$ . Умови закріплення в точці  $x = l$  мають вигляд:

$$\begin{cases} C_1 \cdot y_1(l, \omega^2) + C_2 \cdot y_2(l, \omega^2) = 0 \\ C_1 \cdot y_1^{[1]}(l, \omega^2) + C_2 \cdot y_2^{[1]}(l, \omega^2) = 0 \end{cases} \quad (22)$$

Знайдену вище першу частоту коливань  $\omega_1$  підставимо в (22) і отримаємо два лінійно залежних рівняння. Провівши ряд арифметичних операцій знайдемо значення констант  $C_1, C_2$ . Підставивши  $C_1, C_2$  до виразу прогину (21) отримаємо прогин в точці  $x = l$

$$y(l, \omega_1) = -C \cdot \frac{y_2^{[1]}(\omega_1)}{y_1^{[1]}(\omega_1)} \cdot a_{11}(l, \omega_1) + C \cdot a_{12}(l, \omega_1) = -C \cdot \left( \frac{a_{22}(\omega_1)}{a_{21}(\omega_1)} \cdot a_{11}(l, \omega_1) - a_{12}(l, \omega_1) \right) \quad (23)$$

де  $C$  - довільна стала.

Формула для побудови форм коливань при заданій частоті коливань  $\omega_i$  для стрижня з дискретно-неперервним розподілом параметрів буде

$$y(x, \omega_i) = C \cdot \left( a_{12}(x, \omega_i) - \frac{a_{22}(l, \omega_i)}{a_{21}(l, \omega_i)} \cdot a_{11}(x, \omega_i) \right) \quad (24)$$

На рис.4 побудовані форми коливань цегляної димової труби з врахуванням та без врахування власної ваги.

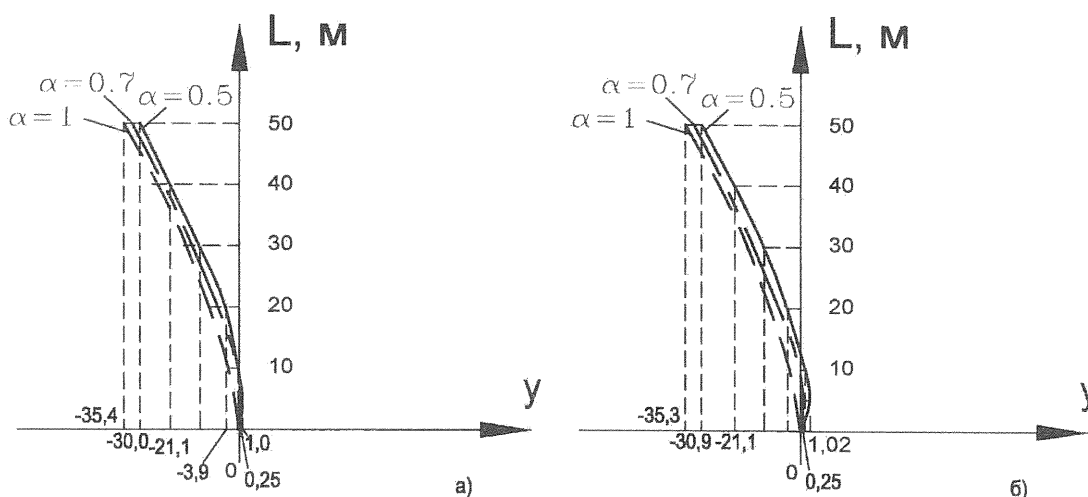


Рис. 4. Вільні коливання димової труби змінного перерізу:  
а) без врахування власної ваги, б) з врахуванням власної ваги.

**Висновки.** Отримані числові результати при  $\alpha = 1$  (сталій переріз) і  $G \equiv 0$  (без врахування власної ваги) добре узгоджуються з відомими в літературі [3]. Зауважимо, що описаний вище метод відзначається простотою, універсальністю алгоритму та швидкою збіжністю.

#### СПИСОК ЛІТЕРАТУРИ:

1. Тацій Р.М. Узагальнені квазидиференціальні рівняння. Науково-учбовий Центр математичного моделювання ІППММ ім. Я.С. Підстригача АН України. Львів, 1994. 54 с.
2. Тацій Р.М., Пахолок Б.Б. Про структуру фундаментальної матриці квазидиференціального рівняння // Доп. АН УРСР. – Сер. А. – 1989. – № 4. – С.25-28.
3. Микеладзе Ш.Е. Об универсальных характеристических уравнениях в задачах колебаний и устойчивости упругих систем // Механика твердого тела. - 1982. - №6. - С.155-162.

4. Ярошевич Е., Зорий Л. Изгибные колебания и устойчивость балок с переменными параметрами // Прикладная механика. -1994.-Т.30-№9-С.75-81.
5. Давидчак О.Р., Тацій Р.М., Ушак Т.І. Розв'язок задач динаміки дискретно-неперервних стрижневих систем методом граничних елементів з апроксимацією коефіцієнтів диференціальних рівнянь.-Вісник НУ «ЛП» , Теорія та практика будівництва.-2004.-№495-С.62-64.
6. Давидчак О.Р., Тацій Р.М. Розв'язок задач динаміки і стійкості стержневих систем з дискретно-неперервним розподілом параметрів.-ZESZYTY NAUKOWE Politechniki Rzeszowskiej. Budownictwo i inzynieria srodowiska.-Rzeszow,2004.-Z.37.C.57-60
7. Тацій Р.М., Іщук В.В., Кісілевич В.В. Про апроксимацію розв'язків диференціальних рівнянь з мірамаи // Вісн. Київ. ун-ту: Математика і механіка. – Київ: Либідь, 1990. № 32. – С.128-131.
8. Прочность .Устойчивость. Колебания. Справочник: В 3 т./ Под ред. И.А. Бургера и Я.П.Пановко.- М.: Машиностроение, 1968.-Т.1-567с.
9. Коллатц Л. Задачи на собственные значения с техническими приложениями. – Москва: Наука, 1968. – 503 с.

УДК 634.0.812

*Є.І. Івашко (Львівський державний університет безпеки життєдіяльності),  
І.Я. Кріса, к.т.н. (ДДПБ МНС України)*

### **МІЦНІСТЬ ДЕРЕВИННИХ КОНСТРУКЦІЙ ТА ІНШИХ АНІЗОТРОПНИХ КАПІЛЯРНО-ПОРИСТИХ МАТЕРІАЛІВ**

Проаналізовано критерії короточасної та довгочасної міцності. Виявлено, що на сьогоднішній день вирішено задачі міцності деревини в основному у пружній області деформування. У в'язкопружній знайдено їх рішення лише для часткових випадків деформування, зокрема, для одновісного стиску, розтягу вздовж та поперек волокон.

**Актуальність.** На сьогоднішній день задачею працівників МНС являється не тільки локалізація і профілактика пожеж, але й усунення наслідків стихійних лих. В цьому аспекті важливим є завдання контролю і впровадження в процес будівництва й конструювання новітніх технологій та виготовлення і застосування якісних та безпечних в експлуатації конструкцій, здатних витримувати великі навантаження. Одним з первинних кроків рішення цієї проблеми є вдосконалення технологічних режимів виробництва. В процесі застосування такого технологічного режиму як гідротермічна обробка деревних пиломатеріалів однією з найважливіших задач являється збереження їх фізико-механічних властивостей. Частково нас буде цікавити міцність цих матеріалів. Отриманні знання дозволять коректувати відомі результати досліджень та розробляти і оптимізувати нові технологічні режими, а також вдосконалювати сучасні системи контролю і регулювання процесів гідротермічної обробки пиломатеріалів. Задачі визначення міцності деревини на сьогоднішній день вирішені в основному для матеріалів з однорідним напружено-деформівним станом у пружній постановці [1–3]. Для в'язкопружної ж області деформування закономірності впливу реономних властивостей на її міцність встановлені лише для часткових випадків одновісного стиску та розтягу вздовж основних напрямків анізотропії [4,5]. Звичайно, що такий стан досліджень у даній області є не достатнім для розробки методик та методів своєчасного виявлення небезпечних, щодо тріщиноутворення та короблення, у висушуваних